

формуле, предложенной В. Кочергиным и В. Орловым [6]. Спектр деления был взят в виде

$$S(E) = 0,474e^{-\frac{E}{0,965}} \operatorname{sh} \sqrt{2,29E}.$$

При расчете использовались экспериментальные данные $\cos \theta^c$ [6]. Сечения рассеяния нейтронов на углероде рассчитывались по полным сечениям [7]. Было получено $\tau_{\text{расч}} (1,46 \text{ эв}) = 41,4 \text{ см}^2$.

Кроме того, был проведен многогрупповой расчет возраста нейтронов на вычислительной машине. Использовалась программа, составленная в Физико-энергетическом институте*. В результате получено $\tau_{\text{тепл}} = 43,4 \text{ см}^2$. Значение возраста нейтронов, измеренное при толщине мишени 0,3 мм, а также экстраполированное значение при нулевой толщине мишени находятся в хорошем согласии с τ , рассчитанным по многогрупповой моментной методике.

На основе измеренных пространственных распределений плотностей тепловых нейтронов вдоль оси цилиндра с исследуемыми средами была вычислена длина диффузии нейтронов L , оказавшаяся равной $(3,71 \pm 0,03)$ см.

В измерениях возраста нейтронов, образовавшихся в результате замедления нейтронов деления U^{235} в смесях дифенил—железо и дифенил—алюминий, была использована аналогичная методика.

В жестяной бак (длиной 110 и диаметром 41 см), покрытый кадмием, помещалась сборка из стальных или алюминиевых стержней. Стальные стержни диаметром 3,6 см образовывали квадратную решетку с шагом 10,4 см, а алюминиевые стержни диаметром 4 см — треугольную решетку с шагом 8,5 см. Обе сборки, заполненные дифенилом (C_6H_5), помещались внутри тепловой колонны реактора. Пространственные распределения плотностей замедленных нейтронов изменились с помощью индиевых фольг вдоль оси цилиндра в центральном стержне. Источник нейтронов деления (урановая фольга), как и в случае измерений в чистом дифениле, помещался внутри или на торце бака с исследуемой смесью. Это позволяло измерять пространственные распределения плотностей нейтронов, образовавшихся в результате замедления нейтронов деления U^{235} .

* Расчет выполнен А. Зажирко.

в исследуемых смесях, в областях, удаленных от источника на расстояние 2—80 см.

На основании измеренных распределений нейтронов из соотношения (1) были вычислены τ нейтронов деления, замедлившихся до энергии 1,46 эв. Для смеси дифенил—железо (25 об. %) $\tau = (75,0 \pm 4,4) \text{ см}^2$, для смеси дифенил—алюминий (20 об. %) $\tau = (87,8 \pm 2,3) \text{ см}^2$.

Возраст нейтронов деления U^{235} в смесях дифенил — металл рассчитывался по формулам, предложенными в работе [6] (неупругое рассеяние на ядрах железа и алюминия не учитывалось), и многогрупповым методом (с учетом неупругого рассеяния на ядрах железа и алюминия). Для смеси дифенил—железо τ равен 65,6 и 68,5 см², для смеси дифенил—алюминий — 71,7 и 79,9 см² соответственно.

Длина диффузии нейтронов для смеси дифенил—железо оказалась равной $(2,63 \pm 0,04)$ см и для смеси дифенил—алюминий — $(11,19 \pm 0,82)$ см.

Значительное превышение измеренного значения τ над рассчитанными указывает на необходимость учета эффекта гетерогенности среды при теоретическом исследовании замедления нейтронов в смесях водородсодержащих соединений с металлами.

Поступило в Редакцию 8/X 1963 г.

ЛИТЕРАТУРА

- Л. Н. Юрова и др. В сб. «Нейтронная физика». М., Госатомиздат, 1961, стр. 192.
- Л. Н. Юрова, А. А. Поляков, А. А. Игнатов. «Атомная энергия», 12, 151 (1962).
- Л. Н. Юрова, С. Б. Степанов, Г. И. Аликов. Там же, стр. 331.
- Л. Н. Юрова и др. Доклад № 356, представленный СССР на Третью международную конференцию по мирному использованию атомной энергии. Женева, 1964.
- Л. Н. Юрова, А. А. Поляков, А. А. Игнатов. В сб. «Некоторые вопросы инженерной физики». М., Госатомиздат, 1962, стр., 43.
- В. П. Кочергин, В. В. Орлов. «Атомная энергия», 6, 34 (1959).
- Д. Юз. Атлас эффективных нейтронных сечений. М., Изд-во АН СССР, 1957.

УДК 539.125.5

Расчет нейтронных сечений для ядер U^{238} и Th^{232}

Г. И. Марчук, В. Е. Колесов, А. Г. Довбенко

Приводятся результаты расчета различных нейтронных сечений для ядер U^{238} и Th^{232} . Положенная в основу программы для вычислительной машины методика расчета полных сечений σ_t , сечений образования составного ядра σ_c , транспортных сечений σ_{tr} и проницаемостей T_l описана в работах [1, 2]. Программа позволяет также рассчитывать сечения неупругого рассеяния и радиационного захвата нейтронов атомными ядрами. При вычислении этих сечений следуем теории, впервые развитой в работе [3].

Ядра U^{238} и Th^{232} по ряду свойств похожи друг на друга. Это четно-четные ядра; они имеют близкие

пороги деления; ход их полных нейтронных сечений мало отличается, поэтому сечение для этих ядер можно рассчитывать с одними и теми же параметрами оптического потенциала. Был выбран потенциал

$$V(r) = -\frac{V_0(1+i\zeta)}{1+\exp\left(\frac{r-R}{a}\right)}$$

со следующими параметрами: $V_0 = 44 \text{ Мэв}$; $\zeta = 0,075$; $R = 7,72 \cdot 10^{-13} \text{ см}$; $a = 0,6 \cdot 10^{-13} \text{ см}$. Сравнение вычисленных с таким набором параметров сечений σ_t , σ_c , и σ_{tr}

с имеющимися для U^{238} и Th^{232} экспериментальными данными показано на рис. 1, а, б. Для σ_t экспериментальные сечения взяты из атласа [4] и работы [5]; для σ_{tr} приведены данные работ [6—8]. Сечение σ_c при энергиях, больших 0,8 МэВ, сравнивается с полным сечением неупругих процессов [4, 6, 8, 9].

В широкой области энергий наблюдается хорошее согласие теоретических и экспериментальных данных для полного, транспортного сечения и сечения σ_c . Расхождение с опытными значениями для полного сече-

ния наступает лишь при очень малых энергиях, где расчетное сечение σ_t сильно возрастает, а экспериментальное остается постоянным. Рост σ_t обусловлен большим значением σ_c , которое дает оптическая модель при очень малых энергиях.

Необходимые для расчета сечений неупругого рассеяния и радиационного захвата нейтронов последовательности энергетических уровней U^{238} и Th^{232} с их спинами и четностями взяты из работы [10]. Предполагалось, что зависимость средней радиационной

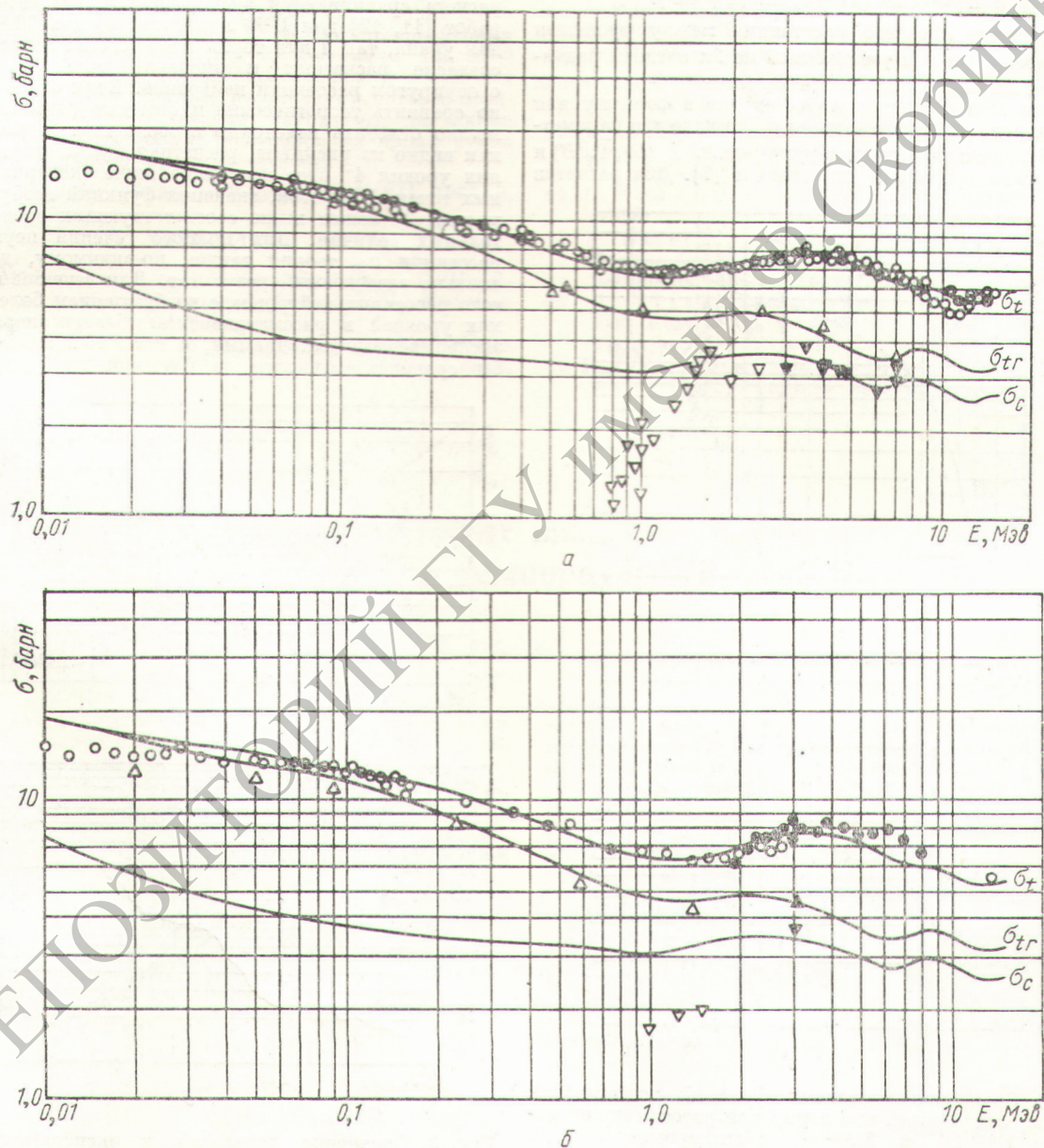


Рис. 1. Сравнение расчетных сечений σ_t , σ_c и σ_{tr} с экспериментальными данными для U^{238} (а) и Th^{232} (б). Экспериментальные данные для U^{238} : \circ — σ_t [10]; ∇ — σ_{in} [4]; \blacktriangledown — σ_{in} [6]; \triangle — σ_{tr} [6]; \blacktriangle — σ_{tr} [7]. Экспериментальные данные для Th^{232} \square — σ_t [4]; \bullet — σ_t [5]; \blacktriangledown — σ_{in} [8]; ∇ — σ_{in} [9]; \triangle — σ_{tr} [6]; \blacktriangle — σ_{tr} [8].

ширины $\bar{\Gamma}_\gamma$ от энергии E налетающего нейтрона имеет вид

$$\bar{\Gamma}_\gamma^{(J)}(B+E) \sim \frac{1}{Q(B+E)} \int_E^{B+E} E_\gamma^3 Q(B+E-E_\gamma) dF_\gamma.$$

Вычисления проводились для простейшей формы зависимости плотности уровней Q составного ядра от энергии возбуждения U :

$$Q(U) = \text{const} (2J+1) \exp(2\sqrt{aU}).$$

Отношение среднего расстояния между уровнями составного ядра \bar{D} к умноженной на 2π средней радиационной ширине $\bar{\Gamma}_\gamma$ при энергии, равной энергии связи нейтрона B в составном ядре, входит в формулу для сечения радиационного захвата σ_{in} в качестве параметра ξ . Данные о значениях параметров B , $\bar{D}(B)$, $\bar{\Gamma}_\gamma(B)$ и a систематизированы в справочнике [7]. Для расчетов

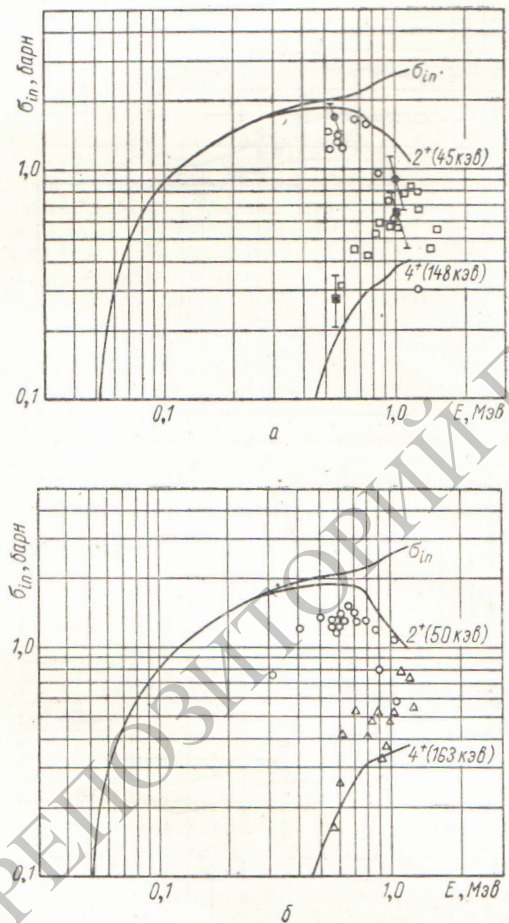


Рис. 2. Сравнение расчетных функций возбуждения двух первых уровней при неупругом рассеянии нейтронов на U^{238} (а) и Th^{232} (б) с экспериментальными данными.

Экспериментальные данные для U^{238} : ● — [11], ○ — [12] [уровень 2^+ (45 кэВ)]; ■ — [11]; □ — [12] [уровень 4^+ (148 кэВ)]. Экспериментальные данные работы [9] для Th^{232} : ○ — уровень 2^+ (50 кэВ); Δ — уровень 4^+ (163 кэВ).

сечений взяты следующие значения параметров. Для U^{238} : $B = 4,59$ МэВ, $\bar{D} = 18,5$ эв, $\bar{\Gamma}_\gamma = 0,0246$ эв, $\xi = 120$, $a = 40$ МэВ $^{-1}$; для Th^{232} : $B = 4,62$ МэВ, $\bar{D} = 17,0$ эв, $\bar{\Gamma}_\gamma = 0,034$ эв, $\xi = 80$, $a = 40$ МэВ $^{-1}$.

Вычисления сечений неупругого рассеяния и радиационного захвата нейтронов охватывают энергетическую область до порога деления. Результаты расчета суммарных сечений неупругого рассеяния σ_{in} и функций возбуждения двух первых уровней для ядер U^{238} и Th^{232} приведены на рис. 2, а, б. С данными расчетами сравниваются экспериментальные сечения из работ [11, 12] для U^{238} и работы [9] для Th^{232} . Как для урана, так и для тория наблюдается качественное согласие расчетных и экспериментальных данных о неупругом рассеянии нейтронов. Если более детально сравнить теоретические и опытные результаты, то можно отметить некоторые особенности. В частности, как видно из рисунков, расчетная функция возбуждения уровня 4^+ идет несколько ниже экспериментальных точек. Напротив, значения функций возбуждения уровня 2^+ лежат выше соответствующих экспериментальных величин. Для полного сечения неупругого рассеяния σ_{in} теория также, по-видимому, дает несколько завышенный результат. Для сечений неупругого рассеяния нейтронов с возбуждением более высоких уровней в рассматриваемой области энергий нет экспериментальных данных, с которыми можно было бы сравнить вычисленные функции возбуждения.

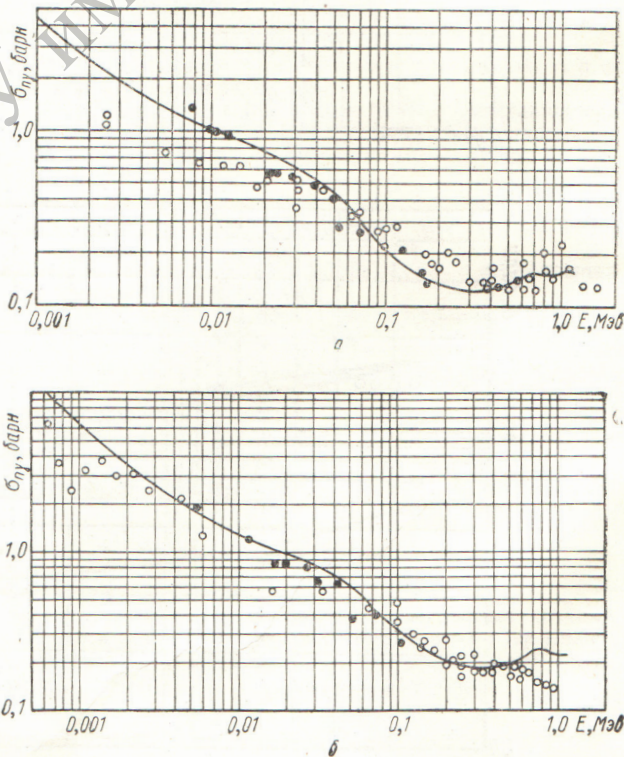


Рис. 3. Сравнение расчетных и экспериментальных сечений радиационного захвата нейтронов σ_{in} для U^{238} (а) и Th^{232} (б).

Экспериментальные данные для U^{238} и Th^{232} : ○ — [13]; ● — [14].

На рис. 3, а, б сравниваются расчетные и экспериментальные сечения радиационного захвата нейтронов $\sigma_{n\gamma}$. Согласие теоретических и экспериментальных значений $\sigma_{n\gamma}$ можно считать удовлетворительным. Некоторое расхождение для урана и тория наблюдается при малых энергиях, где, как уже отмечалось, оптическая модель дает завышенные значения σ_c . Следует, однако, отметить, что экспериментальных измерений в этой области проведено мало, а результаты работы [14] хорошо согласуются с нашим расчетом. Для Th^{232} отмечается расхождение расчетных и экспериментальных значений в районе $\sim 1 \text{ MeV}$. Возможная причина некоторого расхождения расчетных и экспериментальных данных о сечениях неупругого рассеяния для U^{238} и Th^{232} может заключаться в несферичности указанных ядер. С этой точки зрения несомненный интерес представили бы расчеты сечений неупругого рассеяния и радиационного захвата нейтронов на ядрах урана и тория с учетом их несферичности.

Поступило в Редакцию 18/XII 1963 г.

ЛИТЕРАТУРА

- С. М. Ермаков, В. Е. Колесов, Г. И. Марчук. В сб. «Нейтронная физика». М., Госатомиздат, 1961, стр. 314.
- В. Е. Колесов. В сб. «Теория и методы расчета ядерных реакторов». М., Госатомиздат, 1962, стр. 244.

- W. Hauser, H. Feshbach. Phys. Rev., 87, 366 (1952).
- Атлас нейтронных сечений. М., Атомиздат, 1959.
- В. Я. Аверченков, А. И. Веретеников. В сб. «Нейтронная физика». М., Госатомиздат, 1961, стр. 258.
- W. Allen, R. Henkel. Progress in Nuclear Energy. Ser. I, vol. 2. Pergamon Press, London — New York — Paris — Los Angeles, 1958, p. 1.
- И. В. Гордеев, Д. А. Кардашев, А. В. Малышев. Ядерно-физические константы. Справочник. М., Госатомиздат, 1963.
- В. И. Попов. В сб. «Нейтронная физика». М., Госатомиздат, 1961, стр. 306.
- A. Smith. Phys. Rev., 126, 748 (1962).
- Б. С. Джелепов, Л. К. Пекер, В. О. Сергеев. Схемы распада радиоактивных ядер. М.—Л., Изд-во АН СССР, 1963.
- L. Granberg, J. Levin. Phys. Rev., 109, 2063 (1958).
- A. Smith. Доклад SM-18/76 на семинаре по физике реакторов на быстрых и промежуточных нейтронах. Вена, МАГАТЭ, 3—11 августа 1961 г.
- S. Yiftah, D. Okrent, P. Moldauer. Fast Reactor Cross Sections Pergamon Press, New York — Oxford — London — Paris, 1960.
- В. А. Толстиков, Л. Е. Шерман, Ю. Я. Ставицкий. «Атомная энергия», 15, 414 (1963).

УДК 533.16:546.17

Коэффициент вязкости N_2^{14} — N_2^{15} в интервале температур 78—300°К

Н. Е. Менабде

Коэффициенты вязкости N_2^{14} — N_2^{15} определялись на вискозиметре с колеблющимся диском. Все измерения проводились при пониженных давлениях (около 20 мм рт. ст.) в температурном интервале 78—300°К. В ходе измерений температура стабилизировалась при помощи криостата, описанного в работе [1], и определялась медь-константной термопарой с точностью 0,2°. Чистота N_2^{14} достигала 99,8%, N_2^{15} —99,6%. Коэффициент вязкости вычислялся по формуле работы [2]:

$$\eta = C \left(\frac{\lambda}{\tau} - \frac{\lambda_0}{\tau_0} \right), \quad (1)$$

где τ и τ_0 , λ и λ_0 — периоды колебания и логарифмические декременты затухания в исследуемой среде и вакууме соответственно; C — постоянная прибора, определявшаяся калибровкой на газообразном гелии, значение коэффициента вязкости которого бралось из работы [3]. Нулевое затухание, т. е. собственное затухание всей подвесной системы λ_0/τ_0 , определялось при вакууме порядка 10^{-5} мм рт. ст. с охлаждением вискозиметра жидким азотом. Затухание в среде λ/τ_0 определялось при 15—20 полных колебаниях. Точность определения затухания в среде порядка 0,6%.

Ниже приводятся результаты измерений для N_2^{14} и для N_2^{15} :

К N_2^{14}

$T, ^\circ\text{K}$	297,4	292,7	289,0	285,0	234,2	211,0	203,7	168,8	116,0	80,6	77,5
$\eta \cdot 10^7, \text{ г/см}\cdot\text{сек}$	1773	1755	1737	1718	1478	1355	1314	1121	802	567	546